



*Absorbția luminii în dot-uri cuantice – spre
celulele fotovoltaice de generația a patra*

V. Iancu¹, M. R. Mitroi¹, L. Fara¹

A.-M. Lepadatu², I. Stavarache², M. L. Ciurea²



Cuprins:

Introducere

Efecte de confinare in dot-uri cuantice

Absorbția luminii pe nivele de confinare cuantica

Aplicatie numerica – dot-uri de Si imersate in matrice de a-SiO₂

Concluzii



Efecte de confinare in dot-uri cuantice

Groapa cuantica infinita:
$$V^{(I)}(r) = \begin{cases} 0, & r < a, \\ \infty, & r > a, \end{cases}$$

Funcția de unda:
$$\psi_{n,l,m}^{(I)}(r, \theta, \varphi) = R_{n,l}^{(I)}(r/a) \cdot Y_{l,m}(\theta, \varphi)$$

unde:
$$R_{n,l}^{(I)}(z) = a^{-3/2} N_{n,l}^{(I)} \begin{cases} j_l(x_{n+1,l} \cdot z), & z < 1, \\ 0, & z > 1, \end{cases}$$

$x_{n+1,l} \neq 0$ - zero-ul $n+1$ al $j_l(x)$, $x_{0,l} \equiv 0$

$$N_{n,l}^{(I)} = \left[\int_0^1 j_l^2(x_{n+1,l} z) z^2 dz \right]^{-1/2}$$

$Y_{l,m}(\theta, \varphi)$ - funcția sferică

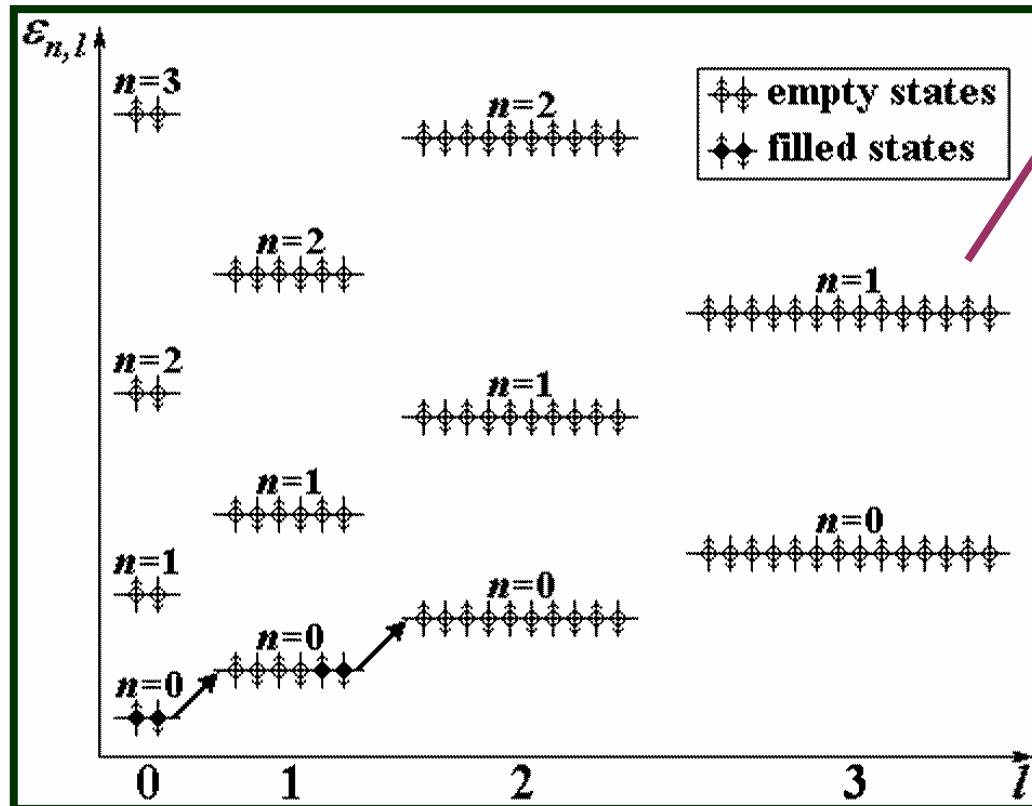
n, l și m ($|m| \leq l$) sunt numerele cuantice radial, orbital și magnetic



$$\mathcal{E}_{n,l}^{(I)} = \left(\hbar^2 x_{n+1,l}^2 \right) / 2m_e a^2$$



Efecte de confinare in dot-uri cuantice



Dependenta nivelelor de energie de numerele cuantice n si l (reprezentata la scara). Starile ocupate si libere sunt marcate per atom. Sagetile oblice reprezinta tranzitii de absorbtie a luminii.



Efecte de confinare in dot-uri cuantice

Groapa cuantica finita: $V^{(F)}(r) = \begin{cases} 0, & r < a, \\ V_0 > 0, & r > a. \end{cases}$

➤ Functia radiala se extinde si in afara dot-ului

 $\epsilon_{n,l}^{(F)} = (\hbar^2 \alpha_{n+1,l}^2) / (2m_e a^2) < V_0$

unde $\alpha_{n,l}$ ($x_{n,l} < \alpha_{n+1,l} < x_{n+1,l}$, $\alpha_{n+1,l} < \gamma$) este solutia ecuatiei

$$\chi \frac{d}{dz} \ln j_l(\alpha_{n,l} z) \Big|_{z=1} + \sqrt{\chi(\gamma^2 - \alpha_{n,l}^2)} + 1 = 0$$

$$\chi = m_a^* / m_e, \quad \gamma = \sqrt{2m_e a^2 V_0 / \hbar^2}$$



Absorbția luminii pe nivele de confinare cuantica

Rata de absorbție: $P_{i \rightarrow f} = (2\pi/\hbar) |H_{fi}|^2 f_i(T) [1 - f_f(T)] \delta(\Delta\varepsilon - hc/\lambda)$

Elementul de matrice: $|H_{n',l';n,l}|^2 = e^2 E^2 a^2 F_l^\pm \mathfrak{R}_{n',l\pm 1;n,l} \delta_{l',l\pm 1}$

Coeficientul de absorbție Einstein:

$$B_\lambda = \left[(2\pi a^2 e^2) / (\hbar^2 \varepsilon_0 \varepsilon_r) \right] F_l^\pm \mathfrak{R}_{n',l\pm 1;n,l}$$

Eficiența cuantica internă:

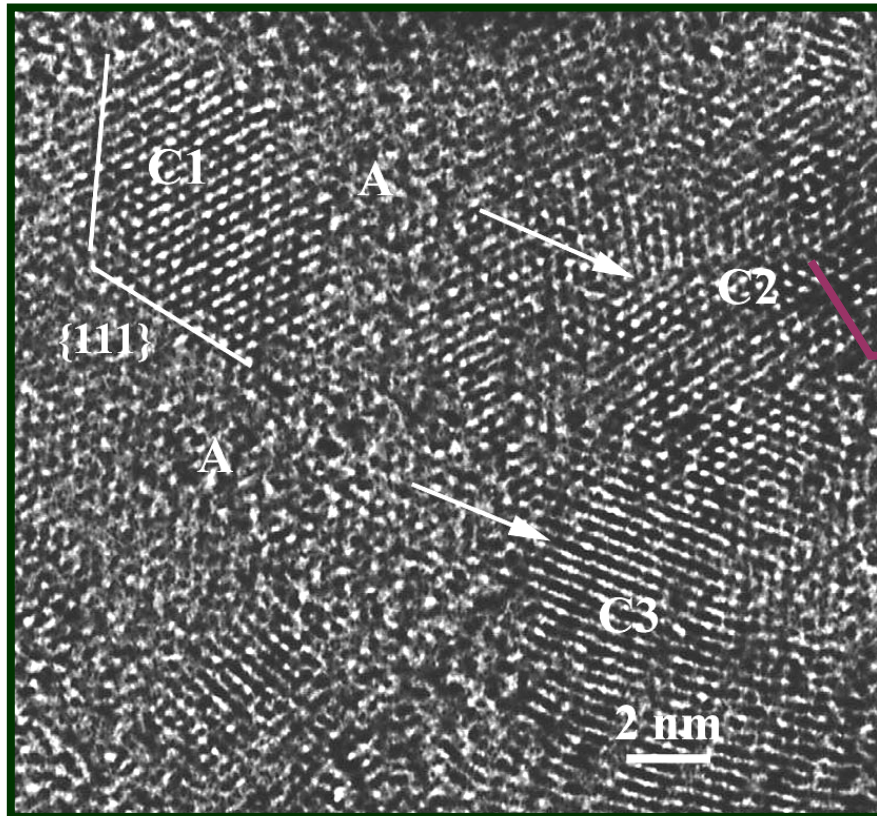
$$\eta_{Q,i}^{\text{dot}}(\lambda, T) = \frac{8\hbar}{ca^2} B_\lambda f_{n,l}(T) [1 - f_{n',l\pm 1}(T)] = \frac{16\pi e^2}{\hbar c \varepsilon_0 \varepsilon_r} F_l^\pm \mathfrak{R}_{n',l\pm 1;n,l} f_{n,l}(T) [1 - f_{n',l\pm 1}(T)]$$



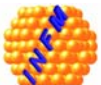
Eficiența cuantica nu depinde explicit de raza dot-ului



Aplicatie numerica – dot-uri de Si imersate in matrice de a-SiO₂



Imagine HRTEM pentru
Si - SiO₂ (concentratie
nc-Si: 75%).



Aplicatie numerica – dot-uri de Si imersate in matrice de a-SiO₂

$$a = 2.5 \text{ nm}$$

Groapa infinita

Groapa finita

$$|0, 0\rangle \rightarrow |0, 1\rangle$$

$$\lambda \approx 19.7 \mu\text{m}$$

$$\eta(\lambda, 300 \text{ K}) \approx 4.33 \%$$

$$\lambda \approx 21.2 \mu\text{m}$$

$$\eta(\lambda, 300 \text{ K}) \approx 4.65 \%$$

$$|0, 1\rangle \rightarrow |0, 2\rangle$$

$$\lambda \approx 15.6 \mu\text{m}$$

$$\eta(\lambda, 300 \text{ K}) \approx 2.98 \%$$

$$\lambda \approx 16.8 \mu\text{m}$$

$$\eta(\lambda, 300 \text{ K}) \approx 3.20 \%$$



Concluzii

S-a calculat eficienta cuantica interna a absorbtiei pe nivele de confinare:

- ❖ S-a luat in considerare rolul factorilor de ocupare
- ❖ Eficienta cuantica nu depinde explicit de dimensiunea dot-ului
- ❖ Eficienta totala per dot este cu cel putin un ordin de marime mai mare decat eficienta spectrala
- ❖ Extinderea absorbtiei spre IR indepartat este utila pentru aplicatii spatiale



Mulumesc pentru atentie!!!

